



Großwetterlage

April 2003

erstellt durch die Vorhersage- und Beratungszentrale, Offenbach
Ausgabe: 04.03.2016

Zonale Zirkulation

| | Nr. | GW zählt als | Jan. | Feb. | W | März | April | Mai | F | Juni | Juli | Aug. | S | Sept. | Okt. | Nov. | H | Dez. | Jahr |
|--------------------|-----|--------------------|-----------|----------|-----------|----------|----------|----------|----------|----------|----------|----------|----------|----------|----------|----------|----------|----------|-----------|
| Wa | 1 | a | 9 | - | | - | - | - | | - | - | - | | - | - | - | | - | |
| Wz | 2 | z | 4 | - | | - | - | - | | - | - | - | | - | - | - | | - | |
| Ws | 3 | z | - | - | | - | - | - | | - | - | - | | - | - | - | | - | |
| Ww | 4 | z | - | 1 | | 4 | - | - | | - | - | - | | - | - | - | | - | |
| W (GT) | | | 13 | 1 | 14 | 4 | 0 | 0 | 4 | 0 | 0 | 0 | 0 | 0 | 0 | 0 | 0 | 0 | 18 |
| zonale Zirkulation | | | 13 | 1 | 14 | 4 | 0 | 0 | 4 | 0 | 0 | 0 | 0 | 0 | 0 | 0 | 0 | 0 | 18 |

Gemischte Zirkulation

| | Nr. | GW zählt als | Jan. | Feb. | W | März | April | Mai | F | Juni | Juli | Aug. | S | Sept. | Okt. | Nov. | H | Dez. | Jahr |
|-----------------------|-----------|--------------------|----------|----------|-----------|-----------|----------|----------|-----------|----------|----------|----------|----------|----------|----------|----------|----------|----------|-----------|
| SWa | 5 | H+a | - | - | | 8 | - | - | | - | - | - | | - | - | - | | - | |
| SWz | 6 | z | - | - | | - | 5 | - | | - | - | - | | - | - | - | | - | |
| SW (GT) | | | 0 | 0 | 0 | 8 | 5 | 0 | 13 | 0 | 0 | 0 | 0 | 0 | 0 | 0 | 0 | 0 | 13 |
| NWa | 7 | a | - | - | | - | - | - | | - | - | - | | - | - | - | | - | |
| NWz | 8 | z | - | 6 | | - | - | - | | - | - | - | | - | - | - | | - | |
| NW (GT) | | | 0 | 6 | 6 | 0 | 0 | 0 | 0 | 0 | 0 | 0 | 0 | 0 | 0 | 0 | 0 | 0 | 6 |
| HM | 9 | H+a | - | - | | 4 | - | - | | - | - | - | | - | - | - | | - | |
| BM | 10 | H+a | 4 | 6 | | 7 | 1 | - | | - | - | - | | - | - | - | | - | |
| HM (GT) | | | 4 | 6 | 10 | 11 | 1 | 0 | 12 | 0 | 0 | 0 | 0 | 0 | 0 | 0 | 0 | 0 | 22 |
| TM (GT) | 11 | T+z | - | - | 0 | - | 3 | - | 3 | - | - | - | 0 | - | - | - | 0 | - | 3 |
| gemischte Zirkulation | | | 4 | 12 | 16 | 19 | 9 | 0 | 28 | 0 | 0 | 0 | 0 | 0 | 0 | 0 | 0 | 0 | 44 |

Meridiane Zirkulation

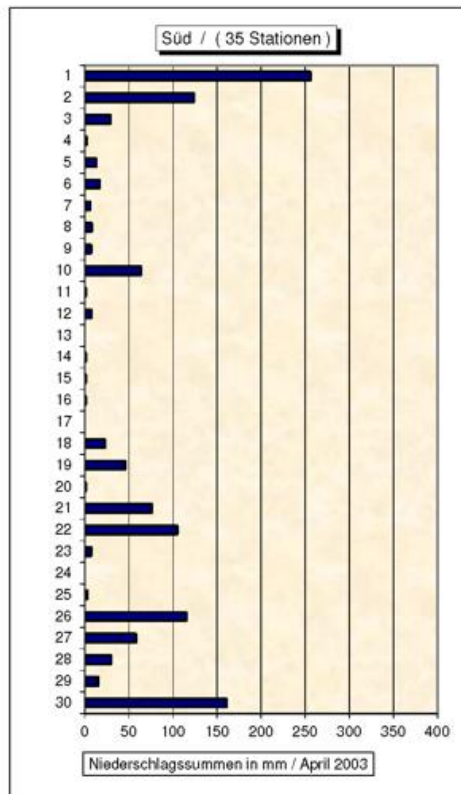
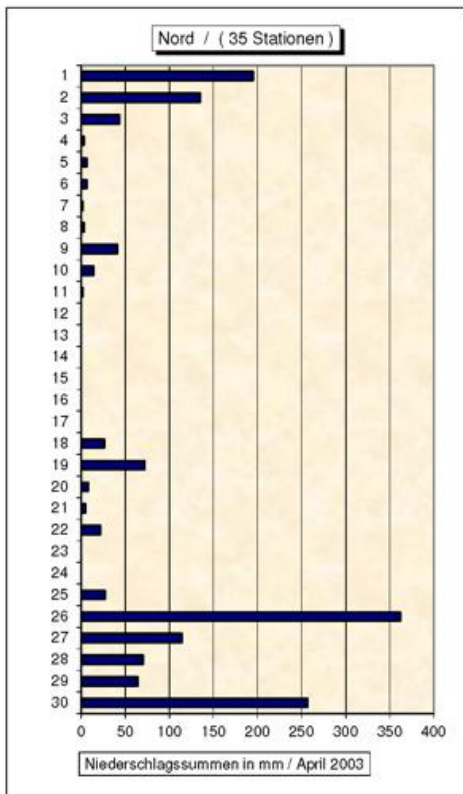
| | Nr. | GW zählt als | Jan. | Feb. | W | März | April | Mai | F | Juni | Juli | Aug. | S | Sept. | Okt. | Nov. | H | Dez. | Jahr | | | | |
|-----------------------|-----|--------------------|-----------|----------|----|----------|-----------|----------|----|----------|----------|----------|---|----------|----------|----------|----------|----------|-----------|---|---|---|---|
| Na | 12 | a | - | - | 12 | - | - | - | 20 | - | - | - | 0 | - | - | - | 0 | - | 0 | | | | |
| Nz | 13 | z | 4 | 1 | | - | 7 | - | | - | - | - | | - | - | - | | - | | - | - | - | - |
| HNa | 14 | a | - | - | | - | 5 | - | | - | - | - | | - | - | - | | - | | - | - | - | - |
| HNz | 15 | T+z | - | - | | - | - | - | | - | - | - | | - | - | - | | - | | - | - | - | - |
| HB | 16 | a | 7 | - | | 8 | - | - | | - | - | - | | - | - | - | | - | | - | - | - | - |
| TrM | 17 | T+z | - | - | | - | - | - | | - | - | - | | - | - | - | | - | | - | - | - | - |
| N (GT) | | | 11 | 1 | | 8 | 12 | 0 | | 0 | 0 | 0 | | 0 | 0 | 0 | 0 | 0 | 32 | | | | |
| NEa | 18 | H+a | - | - | 8 | - | - | - | 9 | - | - | - | 0 | - | - | - | 0 | - | 0 | | | | |
| NEz | 19 | T+z | - | - | | - | - | - | | - | - | - | | - | - | - | | - | | - | - | - | - |
| HFa | 20 | H+a | - | 8 | | - | - | - | | - | - | - | | - | - | - | | - | | - | - | - | - |
| HFz | 21 | T+z | - | - | | - | 3 | - | | - | - | - | | - | - | - | | - | | - | - | - | - |
| HNFa | 22 | H+a | - | - | | - | - | - | | - | - | - | | - | - | - | | - | | - | - | - | - |
| HNFz | 23 | T+z | - | - | | - | - | - | | - | - | - | | - | - | - | | - | | - | - | - | - |
| SEa | 24 | H+a | - | - | | - | 6 | - | | - | - | - | | - | - | - | | - | | - | - | - | - |
| SEz | 25 | T+z | - | - | | - | - | - | | - | - | - | | - | - | - | | - | | - | - | - | - |
| E (GT) | | | 0 | 8 | | 0 | 9 | 0 | | 0 | 0 | 0 | | 0 | 0 | 0 | 0 | 0 | 17 | | | | |
| Sa | 26 | H+a | - | 6 | 9 | - | - | - | 0 | - | - | - | 0 | - | - | - | 0 | - | 0 | | | | |
| Sz | 27 | z | - | - | | - | - | - | | - | - | - | | - | - | - | | - | | - | - | - | - |
| TB | 28 | z | - | - | | - | - | - | | - | - | - | | - | - | - | | - | | - | - | - | - |
| TrW | 29 | z | 3 | - | | - | - | - | | - | - | - | | - | - | - | | - | | - | - | - | - |
| S (GT) | | | 3 | 6 | | 0 | 0 | 0 | | 0 | 0 | 0 | | 0 | 0 | 0 | 0 | 0 | 9 | | | | |
| meridiane Zirkulation | | | 14 | 15 | 29 | 8 | 21 | 0 | 29 | 0 | 0 | 0 | 0 | 0 | 0 | 0 | 0 | 0 | 58 | | | | |

Summe

| | Nr. | GW zählt als | Jan. | Feb. | W | März | April | Mai | F | Juni | Juli | Aug. | S | Sept. | Okt. | Nov. | H | Dez. | Jahr |
|----------------------------|-----|--------------------|------|------|----|------|-------|-----|----|------|------|------|---|-------|------|------|---|------|------|
| Übergangs - lage (Tage) | | | - | - | 0 | - | - | - | 0 | - | - | - | 0 | - | - | - | 0 | - | 0 |
| Σ a | | | 20 | 20 | 40 | 27 | 12 | 0 | 39 | 0 | 0 | 0 | 0 | 0 | 0 | 0 | 0 | 0 | 79 |
| Σ z | | | 11 | 8 | 19 | 4 | 18 | 0 | 22 | 0 | 0 | 0 | 0 | 0 | 0 | 0 | 0 | 0 | 41 |
| Σ H | | | 4 | 20 | 24 | 19 | 7 | 0 | 26 | 0 | 0 | 0 | 0 | 0 | 0 | 0 | 0 | 0 | 50 |
| Σ T | | | 0 | 0 | 0 | 0 | 6 | 0 | 6 | 0 | 0 | 0 | 0 | 0 | 0 | 0 | 0 | 0 | 6 |

| GWL 2003 | GWL nach Hess & Brezowsky | Kurzbeschreibung |
|---------------------------|---------------------------|---|
| Dienstag, den 01. April | BM | Ein südostwärts schwenkender Höhentrog schließt die Brücke zu der ostatlantischen Antizyklone. |
| Mittwoch, den 02. April | NZ | Während der Ostteil der bisherigen Brücke trogvorderseitig abgebaut wird, wölbt sich über dem Ostatlantik ein mächtiger Keil polwärts. Später schwenkt dieser nach Nordskandinavien, den Westen Mitteleuropas begünstigend, den Osten teils unter einer Schneedecke mit winterähnlichen Auswirkungen begrabend. Die Temperaturmaxima liegen zwischen 7 und 12°C, am 5. April im Südwesten sogar bei 16°C; am 6. April deutlicher Temperaturrückgang (außer im Westen) unter 5°C. In Westsachsen und in der Oberpfalz sind Eistage zu verzeichnen, Temperaturminima zwischen +5 und -5°C (ab dem 7. April durchgängig Nachtfrost). |
| Donnerstag, den 03. April | NZ | |
| Freitag, den 04. April | NZ | |
| Samstag, den 05. April | NZ | |
| Sonntag, den 06. April | NZ | |
| Montag, den 07. April | NZ | |
| Dienstag, den 08. April | NZ | |
| Mittwoch, den 09. April | TM | Der osteuropäische Langwellentrog schließt sich ab und bildet vereint mit einem kleineren Höhentief über den Britischen Inseln ein umfangreiches zyklonales Doppelsystem, das später auch als Bodentiefdruckrinne erscheint, ohne Warmluftbeteiligung jedoch recht wenig Niederschlag erbringt. |
| Donnerstag, den 10. April | TM | |
| Freitag, den 11. April | TM | |
| Samstag, den 12. April | SEA | Nach der spätwinterlichen 1. Dekade folgt recht drastisch der Übergang zum Vollfrühling, hierzulande als Folge der Abwanderung des zentralen Höhentiefs nach Nordskandinavien zu sehen. Dem westlichen Ausläufer der russischen Blockierung kann nun sonnenwarme Festlandsluft entströmen. Temperaturmaxima von 12 bis 17°C auf 18 bis 23°C steigend; am 15. und 16. April erste Sommertage am Rhein. Minima zunächst um den Gefrierpunkt, danach zwischen 7 und 2°C, im Westen bis 12°C. |
| Sonntag, den 13. April | SEA | |
| Montag, den 14. April | SEA | |
| Dienstag, den 15. April | SEA | |
| Mittwoch, den 16. April | SEA | |
| Donnerstag, den 17. April | SEA | |
| Freitag, den 18. April | HFZ | Wie so häufig, mutiert ein Randtrog der arktischen Frontalzone zum Kaltlufttropfen. Dieser umrundet das antizyklonale Zentrum über Skandinavien über seine Südflanke, ohne die Bodendruckanordnung zu deformieren. Dürrtge Niederschläge werden bei Warmlufteinschub regional konvektiv verstärkt. |
| Samstag, den 19. April | HFZ | |
| Sonntag, den 20. April | HFZ | |
| Montag, den 21. April | HNA | Mit Umstellung der polaren Zirkulation weicht der hohe Druck von Skandinavien nach Grönland zurück, wird nach Aufnahme des Kaltlufttropfens in das nordatlantische System durch einen Keil in Richtung auf Mitteleuropa erweitert. Im kleineren, südwestlichen Teil Deutschlands wird die Luftmasse labilisiert. Temperaturmaxima zwischen 18 und 23°C, am Rhein am 25. bis 27°C. Minima im Westen meist 11 bis 6°, im Osten 6 bis 1°C, im Norden gebietsweise geringe Fröste. |
| Dienstag, den 22. April | HNA | |
| Mittwoch, den 23. April | HNA | |
| Donnerstag, den 24. April | HNA | |
| Freitag, den 25. April | HNA | |
| Samstag, den 26. April | SWZ | |
| Sonntag, den 27. April | SWZ | Am Rande des allmählich bis Nordrussland ausgeweiteten atlantischen Tiefdrucksystems gelangen maritime Luftmassen nach Mitteleuropa. Die Höchstwerte liegen bei 17 bis 22°C, in der Südhälfte und in Sachsen zeitweise darüber. Erste verstreute Sommertage am Rhein oder an der Isar (30. April - Mühldorf 30,8°C - April-Rekord). Minima von 13 bis 8°C, vorübergehend auch bis 18°C, Bayern und Sachsen bis 3°C, örtlich nahe 0°C. |
| Montag, den 28. April | SWZ | |
| Dienstag, den 29. April | SWZ | |
| Mittwoch, den 30. April | SWZ | |

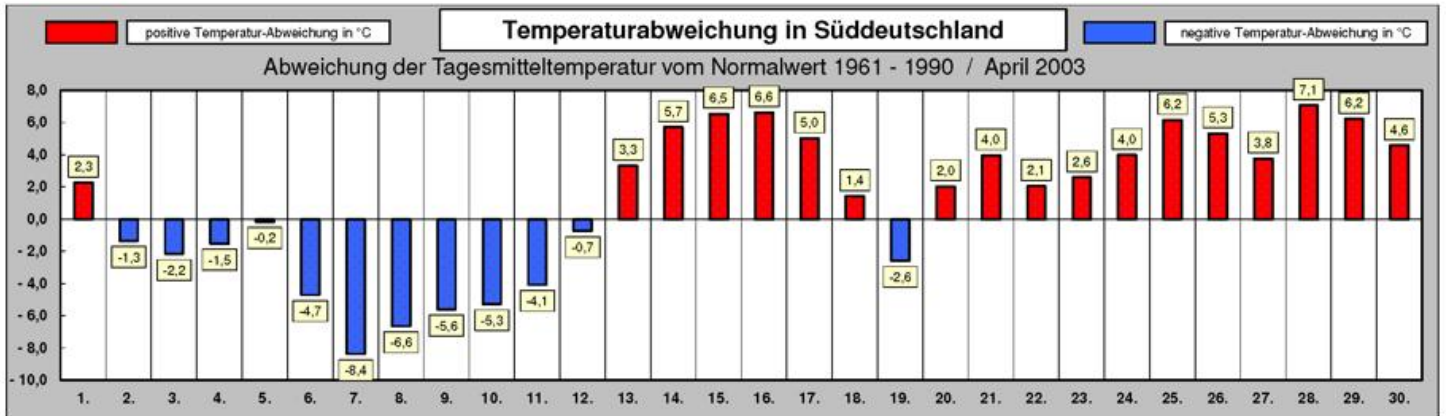
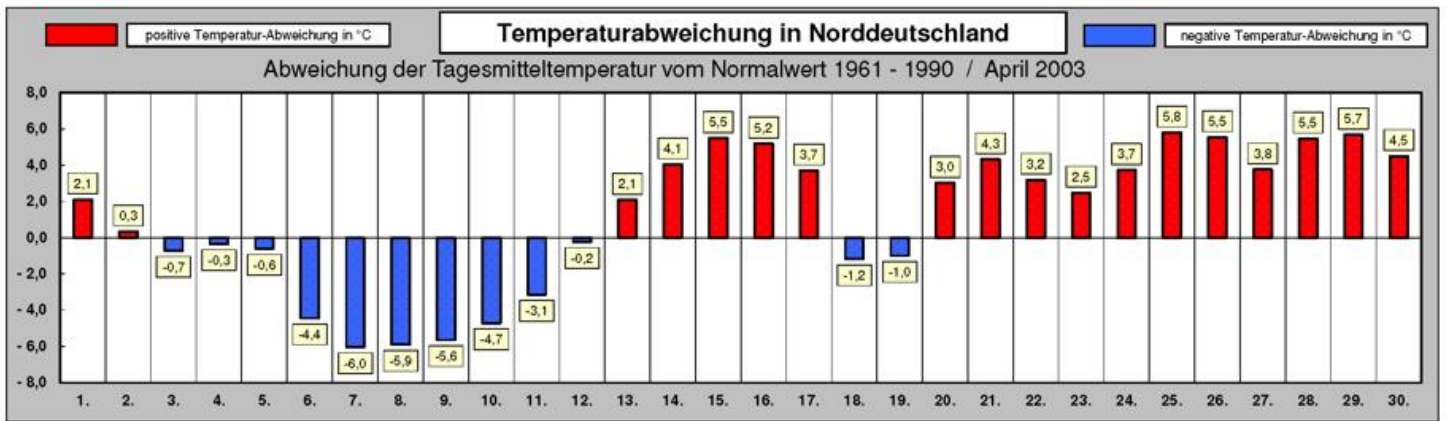
| Legende zur Großwetterlagen-Tabelle | | | |
|-------------------------------------|-------------|--|----------------|
| Nummer | Abkürzung | Großwetterlage | Farbe |
| 1 | Wa | Westlage, Mitteleuropa überwiegend antizyklonal | Hellgrün |
| 2 | Wz | Westlage, Mitteleuropa überwiegend zyklonal | Grelles Grün |
| 3 | WS | Südliche Westlage | Meeresgrün |
| 4 | WW | Winkelförmige Westlage | Grün |
| 5 | SWa | Südwestlage, Mitteleuropa überwiegend antizyklonal | Hellorange |
| 6 | SWz | Südwestlage, Mitteleuropa überwiegend zyklonal | Orange |
| 7 | NWa | Nordwestlage, Mitteleuropa überwiegend antizyklonal | Türkis |
| 8 | NWz | Nordwestlage, Mitteleuropa überwiegend zyklonal | Blaugrün |
| 9 | HM | Hoch Mitteleuropa | Weiß |
| 10 | BM | Hochdruckbrücke Mitteleuropa | Hellgrau 25% |
| 11 | TM | Tief Mitteleuropa | Grau 50% |
| 12 | Na | Nordlage, Mitteleuropa überwiegend antizyklonal | Blassblau |
| 13 | Nz | Nordlage, Mitteleuropa überwiegend zyklonal | Blau |
| 14 | HNa | Hoch Nordmeer-Inland, Mitteleuropa überwiegend antizyklonal | Himmelblau |
| 15 | HNz | Hoch Nordmeer-Inland, Mitteleuropa überwiegend zyklonal | Blaugrau |
| 16 | HB | Hoch Britische Inseln | Helltürkis |
| 17 | TrM | Trog Mitteleuropa | Dunkelgrau 80% |
| 18 | NEa | Nordostlage, Mitteleuropa überwiegend antizyklonal | Lavendel |
| 19 | NEz | Nordostlage, Mitteleuropa überwiegend zyklonal | Pflaume |
| 20 | HFa | Hoch Fennoskandien, Mitteleuropa überwiegend antizyklonal | Hellrosa |
| 21 | HFz | Hoch Fennoskandien, Mitteleuropa überwiegend zyklonal | Rosa |
| 22 | HNFa | Hoch Nordmeer-Fennoskandien, Mitteleuropa überwiegend antizyklonal | Hellgelb |
| 23 | HNFz | Hoch Nordmeer-Fennoskandien, Mitteleuropa überwiegend zyklonal | Dunkelgelb |
| 24 | SEa | Südostlage, Mitteleuropa überwiegend antizyklonal | Gelb |
| 25 | SEz | Südostlage, Mitteleuropa überwiegend zyklonal | Gold |
| 26 | Sa | Südlage, Mitteleuropa überwiegend antizyklonal | Gelbbraun |
| 27 | Sz | Südlage, Mitteleuropa überwiegend zyklonal | Rot |
| 28 | TB | Tief Britische Inseln | Braun |
| 29 | TrW | Trog Westeuropa | Dunkelrot |
| 30 | Ü | Übergangslage / Unbestimmt | Grau 40% |



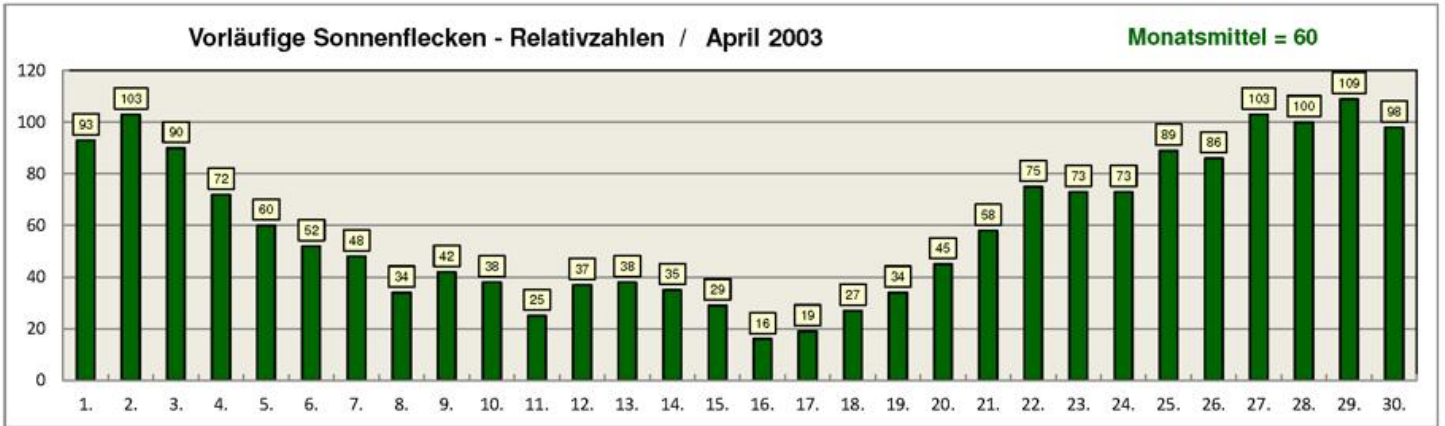
| Tag | Nord | Süd |
|-----|------|-----|
| 1. | 35 | 35 |
| 2. | 35 | 35 |
| 3. | 23 | 25 |
| 4. | 11 | 5 |
| 5. | 5 | 12 |
| 6. | 12 | 14 |
| 7. | 5 | 9 |
| 8. | 6 | 5 |
| 9. | 29 | 6 |
| 10. | 19 | 26 |
| 11. | 8 | 4 |
| 12. | 0 | 8 |
| 13. | 0 | 1 |
| 14. | 0 | 1 |
| 15. | 0 | 1 |
| 16. | 0 | 1 |
| 17. | 0 | 2 |
| 18. | 10 | 9 |
| 19. | 19 | 20 |
| 20. | 8 | 4 |
| 21. | 1 | 17 |
| 22. | 3 | 27 |
| 23. | 0 | 4 |
| 24. | 1 | 0 |
| 25. | 21 | 4 |
| 26. | 35 | 34 |
| 27. | 35 | 26 |
| 28. | 25 | 19 |
| 29. | 27 | 23 |
| 30. | 34 | 34 |

Anzahl der Stationen mit Niederschlag

Temperaturabweichung in Deutschland



Witterungsverlauf : Sonnenflecken und Zyklonalindex



| Stationen | Temperatur | Abweichung | Niederschlag | Abweichung | Sonnenschein | Abweichung | Luftdruck | Abweichung | |
|-----------|------------------|------------|--------------|------------|--------------|---------------|-----------|------------|-----------|
| 10035 | Schleswig | 7,3 °C | + 1,1 °C | 79,6 mm | 145,8 % | 222,9 Stunden | 132,9 % | 1017,7 hPA | + 3,9 hPA |
| 10113 | Norderney | 8,6 °C | + 1,7 °C | 41,1 mm | 99,8 % | 229,1 Stunden | 130,8 % | 1017,4 hPA | + 3,6 hPA |
| 10147 | Hamburg | 8,8 °C | + 1,5 °C | 50,6 mm | 99,2 % | 218,6 Stunden | 136,0 % | 1017,3 hPA | + 3,4 hPA |
| 10170 | Rostock | 8,1 °C | + 1,8 °C | 27,2 mm | 64,9 % | 245,1 Stunden | 141,3 % | 1017,4 hPA | + 3,7 hPA |
| 10338 | Hannover | 9,0 °C | + 1,2 °C | 35,2 mm | 70,7 % | 218,2 Stunden | 145,3 % | 1017,3 hPA | + 3,1 hPA |
| 10379 | Potsdam | 9,1 °C | + 1,1 °C | 18,8 mm | 42,6 % | 223,4 Stunden | 132,7 % | 1017,5 hPA | + 3,2 hPA |
| 10410 | Essen | 10,0 °C | + 1,5 °C | 38,5 mm | 56,6 % | 213,5 Stunden | 145,2 % | 1016,9 hPA | + 2,6 hPA |
| 10438 | Kassel | 8,9 °C | + 1,0 °C | 22,6 mm | 44,9 % | 217,3 Stunden | 145,2 % | 1017,4 hPA | + 3,4 hPA |
| 10453 | Brocken | 1,8 °C | + 0,9 °C | 86,1 mm | 65,1 % | 189,9 Stunden | 147,7 % | 1017,8 hPA | + 3,7 hPA |
| 10469 | Leipzig | 9,6 °C | + 1,2 °C | 30,0 mm | 58,4 % | 220,7 Stunden | 154,2 % | 1017,6 hPA | + 3,6 hPA |
| 10496 | Cottbus | 8,8 °C | + 0,6 °C | 20,3 mm | 48,1 % | 218,7 Stunden | 132,7 % | 1017,1 hPA | + 3,3 hPA |
| 10567 | Gera | 7,9 °C | + 0,9 °C | 34,5 mm | 60,4 % | 224,5 Stunden | 150,0 % | 1016,5 hPA | + 2,1 hPA |
| 10609 | Trier | 9,9 °C | + 1,5 °C | 52,6 mm | 99,6 % | 228,2 Stunden | 145,4 % | 1016,3 hPA | + 2,0 hPA |
| 10637 | Frankfurt (Main) | 10,8 °C | + 1,6 °C | 11,6 mm | 22,5 % | 219,0 Stunden | 134,7 % | 1016,8 hPA | + 2,6 hPA |
| 10739 | Stuttgart | 10,1 °C | + 1,2 °C | 17,4 mm | 32,5 % | 219,3 Stunden | 142,3 % | 1017,2 hPA | + 3,1 hPA |
| 10763 | Nürnberg | 8,9 °C | + 0,7 °C | 13,8 mm | 29,1 % | 203,8 Stunden | 122,6 % | 1017,1 hPA | + 3,1 hPA |
| 10803 | Freiburg | 11,7 °C | + 1,5 °C | 56,5 mm | 69,9 % | 210,0 Stunden | 131,9 % | 1016,3 hPA | + 3,2 hPA |
| 10870 | München | 8,7 °C | + 1,1 °C | 42,5 mm | 78,0 % | 226,7 Stunden | 141,1 % | 1016,3 hPA | + 2,3 hPA |
| 10895 | Passau | 8,4 °C | + 1,2 °C | 28,6 mm | 46,3 % | 219,9 Stunden | 132,3 % | 1016,3 hPA | + 2,3 hPA |
| 10961 | Zugspitze | -7,4 °C | + 0,1 °C | 215,5 mm | 108,3 % | 194,5 Stunden | 126,8 % | 1016,3 hPA | + 2,2 hPA |

* Bei allen Abweichungswerten wird der aktuelle Monatsmittelwert dem 30-jährigen Mittelwert (climat-Wert) aus dem Zeitraum 1961 bis 1990 gegenüber gestellt !

| Stationen | Temperatur | Abweichung | Niederschlag | Abweichung | Sonnenschein | Abweichung | Luftdruck | Abweichung | |
|-----------|------------------|------------|--------------|------------|--------------|---------------|-----------|------------|-----------|
| 01026 | Tromsö | 2,1 °C | + 1,4 °C | 31,0 mm | 51,7 % | 195,0 Stunden | 121,9 % | 1019,9 hPA | + 9,4 hPA |
| 02935 | Jyväskylä | 0,9 °C | - 0,4 °C | 26,0 mm | 70,3 % | 207,0 Stunden | 119,4 % | 1020,6 hPA | + 8,1 hPA |
| 03005 | Lerwick | 6,9 °C | + 1,7 °C | 31,0 mm | 43,1 % | 149,0 Stunden | 112,9 % | 1017,0 hPA | + 4,3 hPA |
| 03091 | Aberdeen | 8,1 °C | + 1,8 °C | 55,0 mm | 103,8 % | 160,0 Stunden | 111,1 % | 1016,7 hPA | + 2,8 hPA |
| 03772 | London | 11,0 °C | + 2,1 °C | 30,0 mm | 66,7 % | 198,0 Stunden | 134,7 % | 1016,7 hPA | + 1,4 hPA |
| 04030 | Reykjavik | 6,2 °C | + 3,3 °C | 74,0 mm | 126,9 % | 120,0 Stunden | 85,7 % | 1013,5 hPA | + 3,1 hPA |
| 06260 | De Bilt | 9,9 °C | + 1,9 °C | 46,0 mm | 88,5 % | 228,0 Stunden | 149,0 % | 1017,0 hPA | + 2,9 hPA |
| 06447 | Brüssel | 10,7 °C | + 1,9 °C | 47,0 mm | 82,5 % | 212,0 Stunden | 143,9 % | 1016,9 hPA | + 2,6 hPA |
| 06590 | Luxemburg | 9,5 °C | + 2,0 °C | 52,0 mm | 85,2 % | 237,0 Stunden | 144,4 % | 1017,0 hPA | + 2,9 hPA |
| 06700 | Genf | 10,9 °C | + 2,1 °C | 59,0 mm | 90,8 % | 222,0 Stunden | 137,9 % | 1015,8 hPA | + 1,6 hPA |
| 06770 | Lugano | 12,0 °C | + 1,3 °C | 72,0 mm | 47,4 % | 172,0 Stunden | 97,7 % | 1016,4 hPA | + 3,1 hPA |
| 07149 | Paris | 11,7 °C | + 1,9 °C | 36,0 mm | 76,6 % | 212,0 Stunden | 122,5 % | 1015,8 hPA | + 1,0 hPA |
| 07222 | Nantes | 12,2 °C | + 1,8 °C | 31,0 mm | 62,0 % | 204,0 Stunden | 109,1 % | 1014,9 hPA | + 0,1 hPA |
| 07690 | Nizza | 13,7 °C | + 0,5 °C | 81,0 mm | 130,6 % | 224,0 Stunden | 98,7 % | 1014,2 hPA | + 1,2 hPA |
| 08221 | Madrid | 12,4 °C | + 0,8 °C | 39,0 mm | 86,7 % | 205,0 Stunden | 95,8 % | 1013,6 hPA | - 2,4 hPA |
| 08509 | Azoren (Lajes) | 13,8 °C | - 1,2 °C | 120,0 mm | 141,2 % | 154,0 Stunden | 96,9 % | 1015,8 hPA | - 5,4 hPA |
| 08535 | Lissabon | 15,4 °C | + 0,3 °C | 122,0 mm | 190,6 % | 196,0 Stunden | 83,4 % | 1013,3 hPA | - 3,1 hPA |
| 11035 | Wien | 10,0 °C | + 0,1 °C | 27,0 mm | 52,9 % | 226,0 Stunden | 111,9 % | 1016,2 hPA | + 2,9 hPA |
| 11150 | Salzburg | 8,8 °C | + 0,2 °C | 38,0 mm | 46,9 % | 201,0 Stunden | 130,5 % | 1016,8 hPA | + 2,5 hPA |
| 11518 | Prag | 7,9 °C | + 0,2 °C | 23,0 mm | 60,5 % | 211,0 Stunden | 125,6 % | 1017,2 hPA | + 3,4 hPA |
| 12205 | Stettin | 8,2 °C | + 0,7 °C | 15,0 mm | 39,5 % | 220,0 Stunden | 147,7 % | 1017,4 hPA | + 3,6 hPA |
| 12375 | Warschau | 7,3 °C | - 0,5 °C | 27,0 mm | 84,4 % | 221,0 Stunden | 89,5 % | 1017,1 hPA | + 3,2 hPA |
| 12843 | Budapest | 10,8 °C | - 0,3 °C | 20,0 mm | 52,6 % | 197,0 Stunden | 107,1 % | 1016,2 hPA | + 3,4 hPA |
| 13274 | Belgrad | 11,6 °C | - 0,8 °C | 23,0 mm | 39,0 % | 168,0 Stunden | 94,4 % | 1016,3 hPA | + 3,0 hPA |
| 15420 | Bukarest | 9,4 °C | - 1,9 °C | 37,0 mm | 80,4 % | 213,0 Stunden | 115,3 % | 1015,0 hPA | + 1,6 hPA |
| 15614 | Sofia | 8,5 °C | - 1,4 °C | 77,0 mm | 154,0 % | 190,0 Stunden | 111,1 % | 1015,9 hPA | + 1,8 hPA |
| 16597 | Malta (Luqa) | 15,5 °C | + 0,0 °C | 21,0 mm | 91,3 % | 248,0 Stunden | 100,4 % | 1014,2 hPA | - 0,1 hPA |
| 16714 | Athen | 14,1 °C | - 1,3 °C | 39,0 mm | 134,5 % | 183,0 Stunden | 81,0 % | 1015,5 hPA | + 2,4 hPA |
| 17116 | Bursa | 9,9 °C | - 3,0 °C | 112,0 mm | 180,6 % | 145,0 Stunden | 82,9 % | 1015,3 hPA | + 1,3 hPA |
| 22550 | Archangelsk | -0,3 °C | - 0,4 °C | 15,0 mm | 50,0 % | 180,0 Stunden | 92,8 % | 1021,7 hPA | + 8,2 hPA |
| 27595 | Kasan | 5,6 °C | + 0,9 °C | 25,0 mm | 67,6 % | 217,0 Stunden | 105,9 % | 1022,7 hPA | + 5,6 hPA |
| 34300 | Charkow | 6,2 °C | - 2,7 °C | 26,0 mm | 72,2 % | 166,0 Stunden | 102,5 % | 1019,8 hPA | + 4,6 hPA |